



БИООРГАНИЧЕСКАЯ ХИМИЯ

том 13 * №11 * 1987

УДК 547.964.4:577.112.6

СИНТЕЗ И БИОЛОГИЧЕСКАЯ АКТИВНОСТЬ ПЕПТИДОВ РАЙОНА 125—131 ИНТЕРФЕРОНА α A

*Ритума И. Р., Вегнер Р. Э., Афанасьева Г. А.,
Кукайн Э. М., Чипенс Г. И.*

Институт органического синтеза Академии наук ЛатвССР, Рига

Твердофазным методом синтезированы два пептида предполагаемого иммунологически активного участка интерферона α A (IFN): IFN-(125—129) (I) и [Arg¹³¹]IFN-(125—131) (II). Оба пептида в опытах *in vivo* на мышах угнетают реакцию гиперчувствительности замедленного типа. Пептид (II) в дозах 0,01—0,1 мг/кг угнетает, а в дозах ~1,0 мг/кг стимулирует образование антител у мышей к эритроцитам барана.

Интерфероны принадлежат к двум большим группам медиаторов, к так называемым лимфокинам и монокинам, которые продуцируются клетками лимфоцитарного и моноцитарного ряда. Система интерферонов — своеобразный иммунологический защитный механизм, который функционирует в каждой клетке и обеспечивает нуклеиновый гомеостаз. Кроме того, интерфероны обладают широким спектром иммуномодулирующих эффектов: стимулируют фагоцитоз, повышают активность естественных киллеров, влияют на образование антител и РГЗТ и т. п. [1]. На основе предположения о том, что молекулы интерферонов, обеспечивая эти эффекты, функционируют не только как целые единицы с их активными центрами, расположенными на поверхности молекулы, но и как предшественники низкомолекулярных пептидов посредством так называемого тетрапептического механизма [2], ранее нами был проведен анализ первичных структур интерферонов с целью предсказания локализации биологически активных участков и фрагментов [3—5]. В результате анализа было выявлено ~20 активных центров — потенциальных регуляторов активности макрофагов и лимфоцитов.

Один из выявленных центров интерферона α A включает эволюционно консервативный район 125—130 (рис. 1). Эквиваленты последовательности 125—129 содержатся также в интерфероне β , спленине, в гормоне тимуса тимопоэтине II и в иммуноглобулинах, например в иммуноглобулине M (рис. 2). Фрагмент 32—36 тимопоэтина II (тимопентин) [7] и фрагмент 451—455 иммуноглобулина M (иммунопоэтин M) [2] являются стимуляторами Т-клеточной иммунной системы. Поэтому, учитывая возможную эквибиофункциональность аминокислотных остатков с разветвленной боковой целью — валина и лейцина, а также идентичность двух из трех существенных для биоактивности структурных элементов тимопентина (Arg, Asp и Tyr [8]) и фрагмента IFN-(125—129), можно ожидать, что и пептид с последовательностью IFN-(125—129) будет влиять на активность Т-клеточных реакций. На возможную роль фрагмента IFN-(125—129) в регуляции Т-клеточного иммунитета указывает также сцепление в молекуле интерферона α A последовательности 125—129 (Arg-Ile-Thr-Leu-Tyr) (предполагаемого Т-активного центра) с последовательностью 122—125 (Tyr-Phe-Gln-Arg), которая состоит из двух гидрофобных и двух полярных аминокислотных остатков. Подобные последовательности образуют так называемые А-участки, активирующие

Принятые сокращения: интерферон α A — IFN, DMF — диметилформамид, TFA — трифтормукусная кислота, РГЗТ — реакция гиперчувствительности замедленного типа, Аос — трет-амилоксикарбонил.

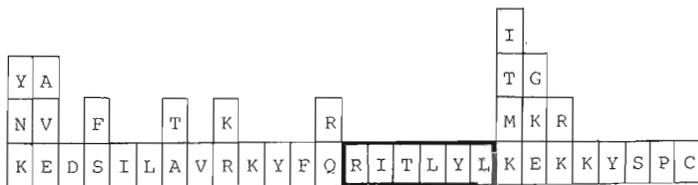


Рис. 1. Профиль мутационных изменений фрагмента IFN-(112–138). Над символами структуры интерферона α в клетках приведены мутационные замены, имеющие место в известных представителях интерферонов групп α и β [6]. Консервативный район 125–130 обведен утолщенной рамкой

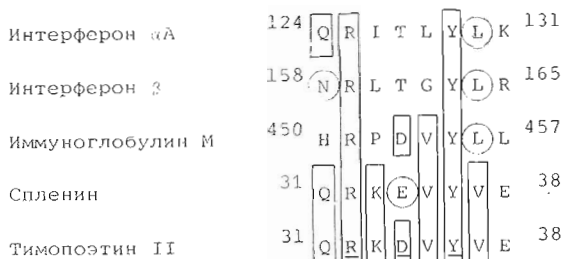


Рис. 2. Сходство первичных структур фрагментов некоторых иммунологически активных белков и пептидов. Структурные элементы активного центра тимопоэтина II (фрагмента 32–36), существенные для проявления иммунологической активности, подчеркнуты. В пределах каждой колонки аминокислотные остатки, идентичные для фрагмента тимопоэтина II и фрагментов остальных белков, помещены в рамки, а потенциально эквифункциональные — обведены кружками

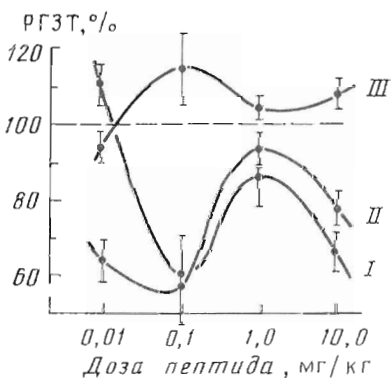


Рис. 3. Влияние пептидов (I), (II) и тимопентина (III) на РГЗТ у мышей. Контроль на уровне 100%

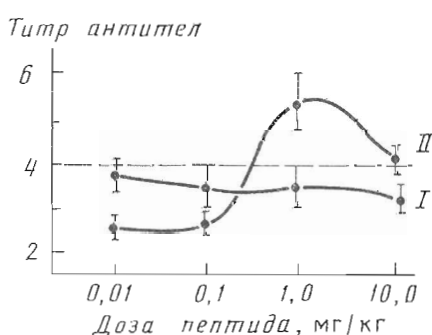


Рис. 4. Влияние пептидов (I) и (II) на уровень антител у мышей, иммунизированных эритроцитами барана. Контроль: $4,00 \pm 0,19$

макрофаги [9, 10]. Сцепление Т- и А-участков часто наблюдается в структурах различных иммунологически активных белков [3–5].

Для проверки вышеизложенных соображений осуществлены синтез и исследование биологической активности (влияние на РГЗТ и на образование антител) двух пептидов: IFN-(125–129) с последовательностью Arg-Ile-Thr-Leu-Tyr (I) и [Arg¹²¹]IFN-(125–131) — Arg-Ile-Thr-Leu-Tyr-Leu-Arg (II). Оба пептида синтезированы твердофазным методом по стандартной методике [11] с использованием в качестве носителя хлорметилированного полистирола (1% сшивки). При отщеплении защитных групп безводным HF, несмотря на добавку анизола, наблюдалась побочная реакция бензилирования боковой цепи тирозина [12], причем Tyr(3-BzL)-содержащий аналог образовался в большем количестве в случае пентапептида (I), чем в случае гептапептида (II).

Первые данные биопропытаний свидетельствуют, что синтезированные пептиды (I) и (II) обладают выраженной иммунологической активностью (рис. 3 и 4). Так, в РГЗТ по сравнению с тимопептином оба пептида (как и сам интерферон [13, 14]) показывают дозозависимое ингибирующее действие. Пептид (I) оказывает также слабое угнетающее действие на образование антител у мышей к тимусзависимому антигену – эритроцитам барана (рис. 4). В тех же условиях пептид (II) в малых дозах (0,01–0,1 мг/кг) достоверно снижает титр антител к эритроцитам барана, а в больших дозах (~1 мг/кг) стимулирует образование антител. Эти данные паряду с имеющимися в патентной литературе указаниями [15, 16] о высокой иммунологической активности различных фрагментов интерферонов свидетельствуют в пользу предположения, что молекулы интерферонов различных классов могут функционировать так же, как прегормоны (предшественники), образуя низкомолекулярные биологически активные пептиды в реакциях ограниченного протеолиза. Полученные результаты обосновывают необходимость дальнейшего подробного изучения спектра иммунологического действия пептида (I) и других фрагментов интерферонов [3–5] с использованием соответствующих методов тестирования.

Экспериментальная часть

В работе использовали производные L-аминокислот (Reanal, ВНР) Aoc-Arg-(Tos)-OH (Beckman, США) и полимерный носитель Bio-BeadsTM S-X1 (Bio-Rad, США), содержащий 4,2 мэкв. хлора на 1 г полимера. Твердофазный синтез проводили в синтезаторе пептидов модели 990B фирмы Beckman. При работе с безводным HF использовали аппаратуру из полиглифторомонохлорэтилена (Protein Research Foundation, Япония). Индивидуальность полученных соединений контролировали аналитической ВЭЖХ, а также ТСХ на пластинках DC-Fertigplatten Kieselgel 60F₂₅₄ (ФРГ) и Silufol (ЧССР). Электрофоретическую подвижность соединений определяли на бумаге Filtral FN-17 (ГДР) при градиенте напряжения 20 В/см в 2 М CH₃COOH при pH 1,9 и выражали по отношению к подвижности гистидина (E_{His}). Свободные пептиды обнаруживали на пластинках и бумаге ингибиторным реагентом и реагентами Паули и Сакагuchi. Очистку пептидов проводили на хроматографе DuPont 830 (США) с колонкой Zorbax C₈ (2,12×25 см). Растворители упаривали в вакууме при температуре не выше 40° С. Для характеристики хроматографической подвижности (R_f) пептидов использовали системы растворителей: n-бутанол – уксусная кислота – вода, 4 : 1 : 1 (A), пиридин – уксусная кислота – вода – этилacetат, 20 : 60 : 11 : 120 (B), n-бутанол – уксусная кислота – вода – пиридин, 15 : 3 : 12 : 10 (B). Аминокислотный анализ проводили на анализаторе Labotron Liquimat IV (ФРГ) после 24-часового гидролиза пептидов в 6 н. HCl в запаянной ампуле при 110° С. Оптическое вращение определяли на поляризаторе Perkin – Elmer 141 (США). спектры ПМР при частоте 360 МГц снимали на приборе Bruker WM-360 (ФРГ).

Твердофазный синтез пептидов. Присоединение первой аминокислоты к полимерному носителю осуществляли по методике, приведенной в работе [17]. Из 12 г (32 ммоль) Boc-Tyr(BzI)-OH и 8 г полимерного носителя получили 18,2 г защищенного тирозил-полимера, емкость которого, согласно аминокислотному анализу и при весу, составляла 3,44 ммоль/г. Из 9 г (24 ммоль) Aoc-Arg(Tos)-OH и 6 г полимера получили 8,7 г защищенного аргинил-полимера с емкостью 1,21 ммоль/г.

Наращивание пептидной цепи проводили согласно программе (таблица), используя двукратный относительно начальной емкости полимера избыток Boc-аминокислот и N,N'-дициклогексилкарбодиимида, растворы которых вводили в реакционный сосуд синтезатора охлажденными до 0° С. Полпоту отщепления Boc-группы и протекания реакции конденсации контролировали качественно ингибиторным реагентом. В случае неполной конденсации ее повторяли 1 или 2 раза. Повторная конденсация была необходима для производных тирозина и треонина в соединении (II), а трехкратная – для производного треонина в соединении (I). В итоге из 1,5 г Boc-Tyr(BzI)-полимера получили 4,2 г Z-Arg(Z₂)-Ile-Thr(BzI)-Leu-Tyr(BzI)-полимера и из 3 г Aoc-Arg(Tos)-полимера получили 5 г Z-Arg(Z₂)-Ile-Thr(BzI)-Leu-Tyr(BzI)-Leu-Arg(Tos)-полимера.

Отщепление пептидов от полимерного носителя и удаление остальных защитных групп проводили безводным HF. Около 5 г пептидил-полимера и 1 мл ацетона при 0° С перемешивали 1 ч с 30 мл перегнанного HF. HF удаляли в вакууме (ловушка с CaO), остаток выдерживали в вакууме 24 ч над NaOH, промывали этилацетатом (3×30 мл) и пептид экстрагировали 1% водным раствором уксусной кислоты (4×50 мл). Раствор пептида частично упаривали и лиофилизовали.

Arg-Ile-Thr-Leu-Tyr (I). Из 4,20 г защищенного пептапептидил-полимера после обработки HF и очистки препаративной ВЭЖХ (ацетонитрил – 0,1 М ацетат аммония, 10 : 90) получили 0,31 г пептида (I). R_f 0,18 (A), 0,46 (B); E_{His} 0,72. Аминокислотный анализ: Thr 1,14 (I), Ile 0,85 (I), Leu 1,0 (I), Тир 1,08 (I), Arg 0,97 (I). $[\alpha]_D^{20} -39,2^\circ$ (с 0,5; 1 М CH₃COOH).

Программа для твердофазного синтеза пептидов (I) и (II)

Стадия	Операция	Используемый реагент	Объем реагента, мл	Время перемешивания, мин
1	Промывка	CH_2Cl_2	50×2	1,5
2	»	50% TFA в CH_2Cl_2	50	5
3	Деблокирование	50% TFA в CH_2Cl_2	50	30
4	Промывка	CH_2Cl_2	50×6	1,5
5	Нейтрализация	$\text{CH}_2\text{Cl}_2 + \text{Et}_3\text{N}$	45+5	1,5
6	»	$\text{CH}_2\text{Cl}_2 + \text{Et}_3\text{N}$	45+5	3
7	Промывка	CH_2Cl_2	50×8	1,5
8	Дозировка и перенос Вос-аминокислоты	Вос-аминокислота в $\text{CH}_2\text{Cl}_2 - \text{DMF}, 9:1$	40	5
9	Внесение N,N'-дициклогексилкарбодиимида	1 M DCC - CH_2Cl_2	5	-
10	Реакция конденсации			60
11	Промывка	CH_2Cl_2	50×5	1,5
12	Переход к первой стадии программы (присоединение следующей аминокислоты) или к шестой стадии программы (в случае повторной конденсации)			

При ВЭЖХ (ацетонитрил – 0,1 М ацетат аммония, 15 : 85) выделяли 0,13 г побочного продукта, который, согласно ПМР-спектру, является [Түг(3-Bzl)⁵]пептидом (I).

Arg-Ile-Thr-Leu-Tyr-Leu-Arg (II). Из 5,0 г защищенного гентапептидил-полимера после обработки HF и ВЭЖХ (ацетонитрил – 0,1 М ацетат аммония, 20 : 80) получили 0,23 г пептида (II). R_f 0,26 (Б), 0,66 (Б); E_{H_1S} 0,88. Аминокислотный анализ: Thr 1,13 (1), Ile 0,77 (1), Leu 2,0 (2), Түг 1,08 (1), Arg 2,03 (2). $[\alpha]_D^{20} = 50^\circ$ (*c* 0,5; 1 М CH_3COOH).

Так же как в предыдущем случае при ВЭЖХ (ацетонитрил – 1 М ацетат аммония, 40 : 60), выделили побочный продукт – [Түг(3-Bzl)⁵]пептид (II) (0,02 г).

Определение биологической активности пептидов (I) и (II) в РГЗТ [18]. Мыши (беспородные, вес 18–20 г) сенсибилизовали эритроцитами барана, которые вводили в хвостовую вену в количестве 10^7 эритроцитов, суспендированных в 0,4 мл физиологического раствора. Через 7 сут в подкожные ткани левой задней стопы вводили повторно эритроциты барана (10^8 эритроцитов в 0,04 мл физиологического раствора, доведенного до pH 7,4 фосфатным буфером) и одновременно в ту же лапку раствор пептида (0,04 мл) в интервале доз от 0,01 до 10 мг/кг. Силу местной воспалительной реакции определяли через 20 ч по разнице степени набухания опытной и контрольной лап. Измерения проводили круговым микрометром с делением шкалы 0,01 мм. Индекс РГЗТ для каждого животного оценивали в процентах (рис. 3).

Влияние пептидов (I) и (II) на образование антител. Мышам линии BALB/c в хвостовую вену вводили пептиды в 0,2 мл физиологического раствора в дозах от 0,01 до 10 мг/кг веса животных. Мышам контрольной группы вводили только физиологический раствор. Через 3 сут мышам одной группы внутривенно вводили нативные эритроциты барана в количестве 5· 10^7 , а мышам второй группы – липополисахарид (LPS, Calbiochem) в дозе 1 мг/кг. Титр антител определяли в реакции гемагглютинации через 7 сут после введения эритроцитов барана мышам первой группы и эритроцитов, коньюгированных при помощи глутаральдегида с липополисахаридом по методу [19], мышам второй группы (рис. 4). Статистическую обработку экспериментального материала проводили с вероятностью 95%.

ЛИТЕРАТУРА

1. Zarling J. M. // Interferons and their application (Handbook of experimental pharmacol. V. 71)/Eds Came P. E., Carter W. A. Berlin, Heidelberg, New York, Tokyo: Springer-Verlag, 1984. P. 403–431.
2. Чипенс Г. И. // Изв. АН ЛатвССР. 1984. № 12. С. 93–102.
3. Чипенс Г. И., Есения Н. Г., Папсевич О. С., Вегнер Р. Э., Розенталь Г. Ф. // Изв. АН ЛатвССР. Сер. хим. 1985. № 3. С. 366–368.
4. Chipens G., Vegners R., Papsuevich O., Ievrina N., Rosenthal G., Petrova T., Rituma I., Afanasyeva G., Krikis A. // Chemistry of peptides and proteins. V. 3./Eds Voelter W., Bayer E., Ovchinnikov Y. A., Ivanov V. T. B.–N. Y.: Walter de Gruyter, 1986. P. 221–234.
5. Чипенс Г. И., Есения Н. Г. // Научно-методологические аспекты биологических исследований новых лекарственных препаратов/Отв. ред. Лукевич Э. Я. Рига: Зиннатне, 1987. С. 247–271.
6. Langer J. A., Pestka S. // Pharmac. Ther. 1985. V. 27. P. 371–401.

7. Goldstein G., Scheid M. P., Boyse E. A., Schlesinger D. H., Van Wauwe J. // Science. 1979. V. 204. № 4399. P. 1309–1310.
8. Goldstein G., Audhya T., Heavner G. A. // Peptides: Synth., Struct., Funct., Proc. Amer. Pept. Symp., 7th. Rockford, Illinois: Pierce Chem. Co., 1981. P. 535–539.
9. Напсевич О. С., Чипенс Г. И., Михайлова С. В. Неигоргниофизарные гормоны. Рига: Зиннате, 1986. С. 127–135.
10. Напсевич О. С., Чипенс Г. И., Крушинская И. И., Петрова Т. А. // Химия белков и пептидов. Тез. докл. VI Всесоюз. симп. Рига, 1983. С. 282–283.
11. Стоярт Дж., Янг Дж. // Твердофазный синтез пептидов. М.: Мир, 1971. С. 77–104.
12. Erickson B. W., Merrifield R. B. // J. Amer. Chem. Soc. 1973. V. 95. № 11. P. 3750–3756.
13. De Maeyer E., De Maeyer-Guignard J. // Ann. N. Y. Acad. Sci. 1980. V. 350. P. 1–11.
14. Knop J., Stremmer R., Neumann C., De Maeyer E., Macher E. // Nature. 1982. V. 296. P. 757–759.
15. Koenig W., Geiger R., Obermeier R., Muellner H. Герм. пат., 1984, № 3224379.
16. Nestor J. J., Jr., Moffatt J. G., Sims J. M. Пат. США, 1984, № 4473555.
17. Gisin B. F. // Helv. chim. acta. 1975. V. 56. № 5. P. 1476–1482.
18. Mackaness G. B., Auclair D. J., Lagrange P. H. // J. Nat. Cancer Inst. 1973. V. 51. № 5. P. 1655–1667.
19. Avrameas S., Ternynck T. // Immunochemistry. 1969. V. 6. № 1. P. 53–66.

Поступила в редакцию

6.V.1986

После доработки

20.II.1987

THE SYNTHESIS AND BIOLOGICAL ACTIVITY OF THE INTERFERON α A 125–131 REGION PEPTIDES

RITUMA I., VEGNERS R., AFANASYEVA G., KUKAIN E.,
CHIPENS G.

*Institute of Organic Synthesis, Academy of Sciences
of the Latvian SSR, Riga*

Two peptides, IFN-(125–129) (RITLY-I) and [Arg⁷]IFN-(125–131) (RITLYLR-II), belonging to the putative immunologically active region of interferon α A (IFN) were synthesised by the solid-phase method. Both peptides suppress the delayed-type hypersensitivity reaction *in vivo* as assayed in mice. The peptide (II) either suppresses (0,01–0,1 mg/kg) or stimulates (\sim 1,0 mg/kg) antibody production in mice in response to sheep red blood cells.